

НЕТОПОЛОГИЧЕСКИЕ СОЛИТОНЫ ТЕМНОЙ МАТЕРИИ И ГРАВИТАЦИОННО-ВОЛНОВЫЕ СИГНАЛЫ

arXiv:2412.08803

Александр Либанов



Сессия-конференция секции ядерной физики ОФН РАН,
посвященная 70-летию со дня рождения академика РАН Валерия
Анатолевича Рубакова
Москва, 21 февраля 2025

Мотивация

Существует несколько необычных гравитационно-волновых событий, полученных от слияния объектов звездной массы, например:

- ▶ GW190814: $20M_{\odot}$ и $2.5M_{\odot}$;
- ▶ GW200105: $9M_{\odot}$ и $2M_{\odot}$;
- ▶ GW200115: $6M_{\odot}$ и $1.5M_{\odot}$.

Масса одного из объектов в таких событиях лежит в разрыве масс (mass-gap) для черных дыр. Возможное объяснение – **Q-шары темной материи?**

R. Abbott et al, AJL (2021)

Модель: лагранжиан

Лагранжиан Фридберга-Ли-Сирлина:

$$\mathcal{L} = \frac{1}{2}(\partial_\mu \varphi)^2 - U(\varphi) + (\partial_\mu \chi)^* \partial_\mu \chi - k^2 \varphi^2 \chi^* \chi, \quad (1)$$

$$U(\varphi) = (\varphi^2 - v^2)^2,$$

Параметры Q-шаров:

$$R_Q = \left(\frac{Q}{4}\right)^{1/4} \frac{1}{v}. \quad (2)$$

$$m_Q = \frac{4\sqrt{2}\pi}{3} v Q^{3/4}, \quad (3)$$

$$Q_{min} = \frac{m_Q}{m_\chi} \quad (4)$$

Friedberg R., Lee T. D., Sirlin A., Phys. Rev. D (1976)

Модель: фазовый переход первого рода

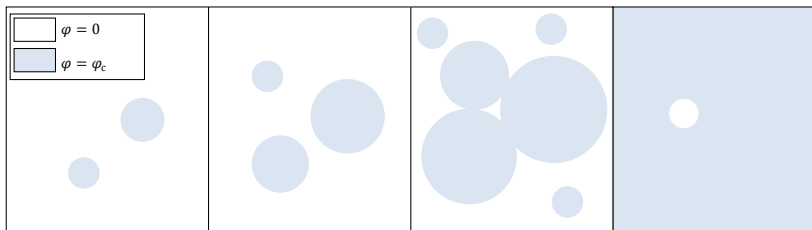


Рис.: Схематичное изображение фазового перехода I-го рода в ранней Вселенной. Белая область – область старой фазы ($\varphi = 0$), голубая область – область новой фазы ($\varphi = \varphi_c$). В некоторый момент времени остается один пузырек старой фазы в некотором объеме, который, для простоты, будем считать сферическим. Q-шар, рожденный из этой области, будем называть **космологическим**, а его параметры будем обозначать индексом "★".

E. Krylov, A. Levin and V. Rubakov, Phys. Rev. D (2013)

Параметры космологических Q-шаров

$$\frac{n_\chi - n_{\bar{\chi}}}{s} = \frac{n_Q Q}{s} = \eta_\chi - \text{асимметрия частиц поля } \chi, \quad (5)$$

$$V_\star = \xi \left(\frac{u A^{1/2} M_{pl}^*}{T_c^2 L^{3/2}} \right)^3 - \text{объем, из которого рождается} \quad (6)$$

космологический Q-шар,

$$Q_\star = \eta_\chi \xi \frac{2\pi^2 g_\star}{45} \left(\frac{u A^{1/2} M_{pl}^*}{L^{3/2} T_c} \right)^3 - \text{макс. заряд космологического Q-шара.} \quad (7)$$

Заряд космологического Q-шара лежит в пределах

$$Q_{min} < Q < Q_\star. \quad (8)$$

E. Krylov, A. Levin and V. Rubakov, Phys. Rev. D (2013)

Распределение космологических Q-шаров по зарядам

Найдем вероятность рождения космологического Q-шара с зарядом, большим некоторого \bar{Q} .

Вероятность рождения пузырька новой фазы в пузырьке старой V :

$$F_b = V\Gamma \frac{R}{u}. \quad (9)$$

Тогда, вероятность рождения космологического Q-шара с зарядом, большим \bar{Q} :

$$F = 1 - F_b \Rightarrow R_*^3 \Gamma \frac{R_*}{u} \sim 1 \Rightarrow \quad (10)$$

$$F = 1 - \frac{V\Gamma R/u}{V_*\Gamma R_*/u}. \quad (11)$$

A. Guth, E. Weindberg, Phys. Rev. D (1981)

Распределение космологических Q-шаров по зарядам

Будем считать, что χ -частицы равномерно распределены по Вселенной, тогда $Q \sim V$, и, соответственно, (11) примет вид:

$$F = 1 - \left(\frac{Q}{Q_*} \right)^{4/3} = \int \frac{dP}{dQ} dQ, \quad (12)$$

$$\frac{dP}{dQ} = - \frac{F(\bar{Q} + dQ) - F\bar{Q}}{dQ} = - \frac{dF}{dQ}, \quad (13)$$

\Rightarrow

$$n(Q) \sim A \int_{Q_{min}}^{Q_*} \frac{dP}{dQ} dQ \sim A \left(\frac{Q}{Q_*} \right)^{4/3}, \quad (14)$$

$$A = \frac{7}{4}.$$

S. Troitsky, JCAP (2016)

Оценка параметра потенциала

Приведенное сечение сгустков темной материи:

$$\langle \bar{\sigma} \rangle_b = \bar{\sigma}_* \int_0^1 \frac{x^{-1/4} x^{3/4} (1-x)}{x^{3/4} (1-x)} dx \approx 1.3 \bar{\sigma}_* \lesssim 1 \text{ cm}^2/\text{g}, \quad (15)$$

где $x = Q/Q_*$, $\bar{\sigma}_* = \bar{\sigma}(Q_*)$. Найдем приведенное сечение Q-шара $\bar{\sigma}(Q)$:

$$\bar{\sigma}(Q) = \frac{\pi R_Q^2}{m_Q} = \frac{3}{8\sqrt{2}} v^{-3} Q^{-1/4}, \quad (16)$$

Тогда из (15) с учетом (16) и (7) можно получить нижнее ограничение v :

$$v_{min} \gtrsim \frac{10^{-7} u^{2/3}}{\eta_\chi^{1/9}} \text{ GeV}. \quad (17)$$

M.Rocha et al, MNRAS (2013)

Оценка параметра потенциала

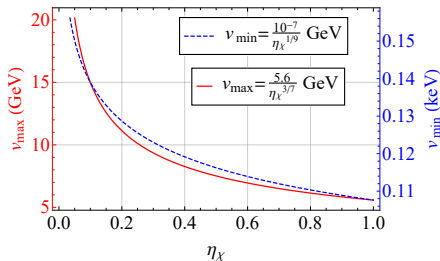


Рис.: Космологические ограничения на v как функция η_{χ} в случае $u = 1$.

$$\rho = \int_0^{Q_*} m_Q dn(Q) \sim Q^{25/12}, \quad (18)$$

$$\rho_{DM} \gtrsim \frac{4\sqrt{2}\pi}{3} v \cdot Q_*^{-1/4} \eta_{\chi} s_0, \quad (19)$$

$$v_{\max} \lesssim \frac{6 \cdot u^{3/7}}{\eta_{\chi}^{3/7}} \text{ GeV}. \quad (20)$$

Слияние Q-шаров: плоская расширяющаяся Вселенная

Рассмотрим изменение заряда одного **выделенного** Q-шара в единицу времени из-за слияния с космологическими Q-шарами:

$$\begin{cases} \dot{Q} = Q_* \sigma(Q) u \frac{1}{V_* a^3(t)}, \\ Q(t_c) = Q_*, \end{cases} \quad (21)$$

где t_c эпоха фазового перехода, связанная с v . Решение (21):

$$Q(t) = \left(-\frac{\pi Q_* u \sqrt{\Omega_\Lambda}}{12 v^2 V_* a_0^3 \Omega_M H_0} \coth \left[\frac{3}{2} \sqrt{\Omega_\Lambda} H_0 t \right] + C \right)^2, \quad (22)$$

с масштабным фактором

$$a = a_0 \left(\frac{\Omega_M}{\Omega_\Lambda} \right)^{1/3} (\sinh[\frac{3}{2} \sqrt{\Omega_\Lambda} H_0 t])^{2/3}, \quad (23)$$

и константой интегрирования

$$C = \frac{\pi Q_* u \sqrt{\Omega_\Lambda}}{12 v^2 V_* a_0^3 \Omega_M H_0} \coth \left[\frac{3}{2} \sqrt{\Omega_\Lambda} H_0 t_c \right] + \sqrt{Q_*}. \quad (24)$$

В такой модели Q-шары почти не взаимодействуют.

Слияние Q-шаров: галактики

Так как Q-шары почти не взаимодействуют из-за масштабного фактора a , можно попробовать его "выключить". Это можно сделать, поместив космологические Q-шары в гравитационно-связанные структуры, например, в галактики. Сделаем некоторые предположения:

- ▶ космологические Q-шары участвуют в образовании галактик и распределены в них по известным профилям темной материи;
- ▶ Млечный Путь будем считать "типичной" галактикой;
- ▶ галактики почти не эволюционируют;
- ▶ вся темная материя представлена Q-шарами;
- ▶ Q-шары не взаимодействуют с обычной материей.

В таком случае локально можно "выключить" расширение Вселенной.

Слияние Q-шаров: галактики

Найдем концентрацию Q-шаров. В качестве профиля темной материи будет использоваться профиль Буркерта:

$$\rho(r) = \frac{\rho_b}{\left(1 + \frac{r}{R_s}\right) \left(1 + \frac{r^2}{R_s^2}\right)} \Rightarrow n(r) = \frac{\rho(r)}{m_Q(Q)}. \quad (25)$$

Рассмотрим взаимодействие выделенного Q-шара с другими Q-шарами разных зарядов:

$$\begin{cases} \dot{Q} = \sum_k k Q_* u_* \sigma(kQ_*) n(kQ_*), & t \in [0; 13] \text{ Gyr}, k \in \mathbb{N}, \\ Q(0) = Q_*, \end{cases} \quad (26)$$

где k -ый член:

$$\dot{Q} \sim (kQ_*)^{3/4}. \quad (27)$$

A. Burkert, *The Astrophysical Journal* (1995)

S. Lin et al, *A&A* (2025)

Слияние Q-шаров: галактики

Упрощенное уравнение, которое следует из вида k -го члена в (26):

$$\begin{cases} \dot{Q} = Qu_*\sigma(Q)n(Q), & t \in [0; 13] \text{ Gyr}, \\ Q(0) = Q_*. \end{cases} \quad (28)$$

Решение (28):

$$Q(t, r) = \left(\frac{3u_*\rho(r)}{64\sqrt{2}v^3}t + Q_*^{1/4} \right)^4. \quad (29)$$

Масса Q-шара как функция времени с учетом (29):

$$m_Q(v, u, \eta_\chi, u_*, T_c, r, t) = \frac{4\sqrt{2}\pi}{3}v \left(\frac{3u_*\rho(r)}{64\sqrt{2}v^3}t + Q_*^{1/4} \right)^3. \quad (30)$$

Радиус Q-шара как функция времени с учетом (29):

$$R_Q(v, u, \eta_\chi, u_*, T_c, r, t) = \frac{1}{\sqrt{2}v} \left(\frac{3u_*\rho(r)}{64\sqrt{2}v^3}t + Q_*^{1/4} \right). \quad (31)$$

Анализ решения

Чтобы объяснить г.в.-события из mass-gap'a в первом приближении необходимо:

$$m_Q(v, u, \eta_\chi, u_\star, T_c, r) \Big|_{t=13 \text{ Gyr}} \gtrsim 1M_\odot \Rightarrow \quad (32)$$

Существуют различные подходящие решения, представленный ниже набор (почти) свободных параметров будем называть **наиболее успешным**, он же будет использоваться для дальнейших оценок:

$$\begin{cases} v \approx 10^{-7} \text{ GeV}, \\ u = 1, \\ \eta_\chi = 1, \\ u_\star = 0.0007, \\ T_c \approx 10^{-7} \text{ GeV}. \end{cases} \quad (33)$$

Анализ решения

Параметры (радиус, масса) Q-шаров **зависят от их расположения в галактике**. Например, современная масса Q-шаров на расстоянии $r = 0.05$ кpc от центра галактики:

$$m_Q \Big|_{r=0.05 \text{ кpc}} \approx 5 M_\odot, \quad (34)$$

а радиус

$$R_Q \Big|_{r=0.05 \text{ кpc}} \sim 10^9 \text{ km}. \quad (35)$$

Будем называть **Q-шарами звездной массы** Q-шары, чьи массы больше или равны массе Солнца. Легко найти, в какой области галактики такие Q-шары расположены и их современное количество:

$$m_Q(r) = 1 M_\odot \Rightarrow r \approx 0.17 \text{ кpc}, \quad (36)$$

$$N_Q^{stellar} = \int_{0 \text{ кpc}}^{0.17 \text{ кpc}} \frac{4\pi r^2 \rho(r)}{m_Q(r)} dr \approx 4 \times 10^9. \quad (37)$$

Анализ решения

Аналогично можно найти расстояние от центра галактики, на котором взаимодействие Q-шаров прекращается в приближении, что выделенный Q-шар поглощает всю массу:

$$m_Q(r) = 2m_* \Rightarrow r \approx 16 \text{ кpc}, \quad (38)$$

Тогда современное число Q-шаров в галактике:

$$N_Q^{total} = \int_0^{16 \text{ кpc}} \frac{4\pi r^2 \rho(r)}{m_Q(r)} dr + \int_{16 \text{ кpc}}^{200 \text{ кpc}} \frac{4\pi r^2 \rho(r)}{m_*} dr \sim 10^{24}. \quad (39)$$

А современные массы и радиус Q-шаров лежат в пределах, соответственно,

$$m_* \approx 10^{-13} M_\odot \leq m_Q(r) \lesssim m_Q(r=0) \approx 10 M_\odot, \quad (40)$$

$$R_Q(Q_*) \approx 9 \times 10^4 \text{ km} \leq R_Q(r) \lesssim R_Q(r=0) \approx 4 \times 10^9 \text{ km}. \quad (41)$$

Анализ решения

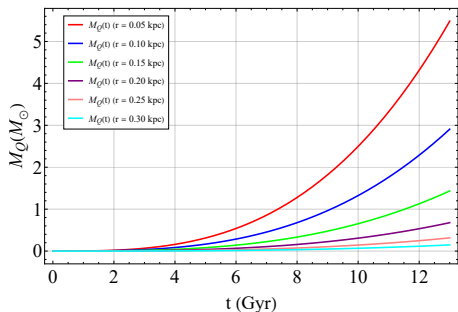


Рис.: Эволюция массы выделенного Q-шара на разных расстояниях от центра галактики.

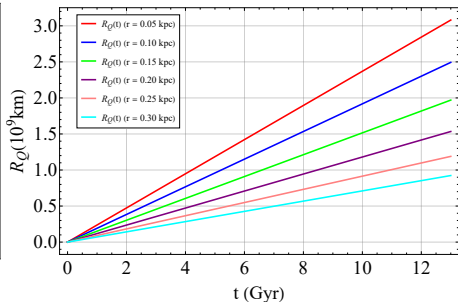


Рис.: Эволюция радиуса выделенного Q-шара на разных расстояниях от центра галактики.

Анализ решения

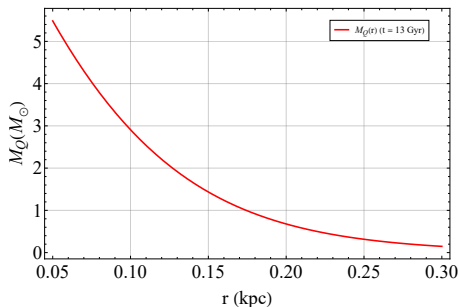


Рис.: Профиль массы современного выделенного Q-шара.

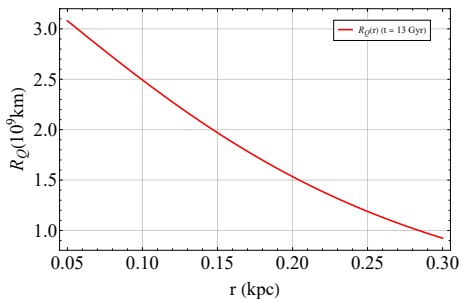


Рис.: Профиль радиуса современного выделенного Q-шара.

Анализ решения

$v \sim 10^{-7} \text{ GeV}, T_c \sim 10^{-7} \text{ GeV}, \eta_\chi = 1, u = 1, u_* = 0.0007$						
r (кpc)	0.05	$0.17^{(1)}$	$0.30^{(2)}$	$8^{(3)}$	$16^{(4)}$	$200^{(5)}$
M_Q (M_\odot)	5	1	0.15	$10^{-12(6)}$	10^{-13}	10^{-13}
R_Q (km)	$10^9(7)$	10^9	10^9	10^5	10^5	$10^5(8)$

Таблица: Основные параметры современных Q-шаров.

1. Область, где находятся Q-шары звездной массы;
2. Радиус центральной области галактики;
3. Расстояние от центра галактики до Земли;
4. Расстояние от центра галактики, на котором Q-шары перестают взаимодействовать;
5. Радиус гало темной материи;
6. Масса порядка массы Юноны;
7. Радиус порядка расстояния от Солнца до Нептуна;
8. Радиус порядка двух радиусов Юпитера.

Анализ решения

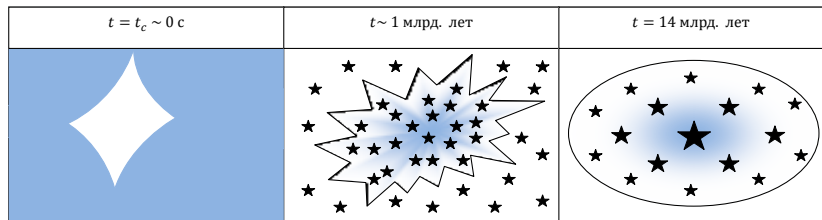


Рис.: Схематичное изображение модели слияния Q-шаров в галактиках. Первый этап: фазовый переход первого рода в ранней Вселенной, рождение космологических Q-шаров. Второй этап: космологические Q-шары участвуют в образовании галактик. Третий этап: в современной галактике расположены различные популяции Q-шаров – чем дальше от центра галактики, тем Q-шары легче.

Results and future work

- ✓ Распределение космологических Q-шаров по зарядам [S. Troitsky, JCAP \(2016\)](#) было уточнено;
- ✓ Получены космологические ограничения на параметр ν лагранжиана;
- ✓ Две модели слияния Q-шаров: свободных космологических Q-шаров в плоской расширяющейся Вселенной и слияние Q-шаров в галактиках;
- ✓ Показано, что Q-шары в галактиках способны набирать значительные массы, однако, их конфигурация скорее напоминает "облака" темной материи;
- ✓ Современные Q-шары могут иметь различные популяции: чем дальше выделенный Q-шар расположен от центра галактики, тем он легче;
- ✓ В предложенных моделях Q-шары не могут закрыть mass-gap, так как они очень "рыхлые", однако, могут представлять интерес в других областях астрофизики и космологии;

СПАСИБО ЗА ВНИМАНИЕ!

Данная работа выполнена в рамках гранта РФФ 22-12-00215